

東大防災研究所 正員 豊國永次 正員 角屋 駿

低平地帯の雨水追跡では、はんらん効果の黙視できることを前年度示したが、今回は一步進めて低平水田地帯に特有の、はんらん貯留を伴う雨水流を巨視的立場から考察し、雨水流が水路の通水能力を越えてはんらんを伴う段階では、みかけ工追跡基礎式が線型化する傾向をもつことを指摘するとともに、従来水田地帯によく適合するとはいわれて来た単位面法の適応性についても理論的に考察し、これを実流域について検証しようとするものである。

1. 流域モデル：水田地帯における雨水の流出過程は、水田区画に降った雨水が末端排水路へ流れる段階、末端排水路流出段階、支線排水路下段階から、これらを束めて下流排水地点に至る幹線段階となりなっている。そこで流域は各支線排水路によって区分され、いくつかの単位流域の集合であり、かつ各単位流域ではFig.1に示すように、整然とした排水路網が構成されているものと差がある。

2. 水田区画からの流出：水田地帯を構成している各水田区画の降雨流出関係は一種の容量～抵抗系とみなすことができるが、ここでは完全越流領域と末端排水路の通水能力に支配される領域（ここでは不完全越流領域と呼ぶ）があり、とともに後者の領域ではFig.2にみられるように水田区画のはんらん貯留が急激に増大する、あるいは排水路内の水位の変動が急激に微小化していくことが了解できる。このことを念頭にあって、両領域の雨水流出について考察してみよう。

(1) 完全越流領域；この領域では、雨水流出能 $Y_o$ は直接出口の大きさによって異なり、その追跡基礎式は次式で表わされる。

$$\frac{M}{(Y_o - q_s)} \frac{dY_o}{dt} + Y_o = Y_e \quad \dots \dots \dots (1)$$

ここで  $M = \frac{2}{3} \left( \frac{H}{NCF} \right)^{\frac{3}{2}}$ ,  $H$ : 末端排水路の交配面積,  $q_s$ : 脉瞬浸透量  
 $b$ : 水田面巾,  $N$ : 水田区画数,  $T$ : 算定係数,  $C$ : 出口の流量係数

この追跡計算は圖解法、数値計算法によればよいか、一般に通水能力の小さな水田地帯の排水路を考みると、この領域の水位範囲は小さく、直線近似を用いて実用に黙視できる場合が多い。

(2) 不完全越流領域；この領域では田面の貯留効果のために排水路の水位変動が小さくなるから、実用上十分な精度で次式が成立する（Fig.3）。

$$A = \alpha Q + A_o \quad \dots \dots \dots (2)$$

$$A_o = (1-p) A_o.$$

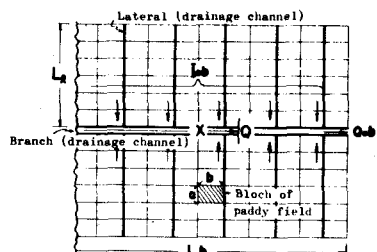


Fig. 1 水田地帯の排水路組織

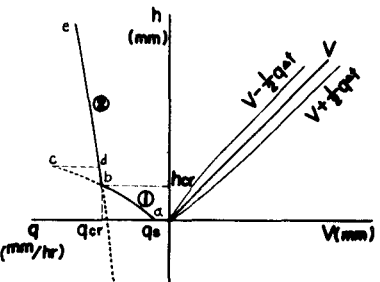


Fig. 2. 雨水流出能と水田貯留量の関係

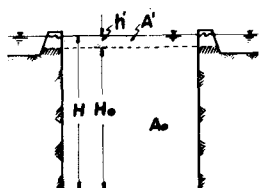


Fig. 3 通水能力を超える流れ

したがって追跡基礎式は次式で表わされる。

$$K(dY_e/dt) + Y_e = Y_e \quad \text{ここで, } K = PH_0/g_0, \quad g_0 = \frac{g}{F}(\text{時間})^2$$

初期条件を  $(Y_e)_{t=0} = Y_{e0}$  とする(3)式の block dia. は Fig. 4 のようになり、その解は次式で表示される。

$$\begin{aligned} Y_e(t) &= \int_0^t W_{t_0}(T) Y_e(t-T) dT + Y_{e0} \exp(-t/K) \\ W_{t_0}(t) &= \frac{1}{K} \exp(-t/K) \end{aligned} \quad \text{Fig. 4. 水田区画に対するblock dia.}$$

この式は明らかに  $W_{t_0}(t)$  を単位図として重ね合せの法則が適用できることを意味しているが、指數関数的に減衰する初期値の効果が附加されていくことに注意を要する。いま二ヶ単位図の有用性パラメータである時定数  $K$  の特性を調べると、末端排水路の通水能力を 5%程度として  $K$  は数 10 時間となり、主めて貯留効果が卓越する系であったことがわかる。このため初期値の効果も長時間にわたって持続することになる。しかし現今の大半の水田区域では、平時でも水位が欠口敷高近傍に維持されていることが多い。このような地域では初期値の効果は 0 とみてよく、水田区画からの雨水流出を単位図のみで表現できることになる。

3. 末端排水路における雨水流：前報では排水路の流れを積流入のある開水路流れとして、拡張曲線法により追跡して後はんらん効果を導入したが、ここでは一貫して貯留効果を考慮して追跡を考えてみる。

(1) 末端排水路；Fig. 5 に示すように末端排水路区間を追跡単位  $I_c$  とり、工場端からの距離を  $X$ 、流量を  $Q$  として、 $(Q)_{X=L_c} = Q_0$ 、 $(dQ/dX)_{X=0} = I_c/L_c$  なる境界条件をみたす関数として、Thalin らの式を参考にして、次式を考える。

$$Q = \sum_{i=1}^{n-1} L_i \left[ 1 - \frac{X}{L_i} \left\{ 1 - \left( \frac{Q_0}{I_c} \right)^p \right\} \right]^{\frac{1}{p}} \quad (5)$$

$A = kQ^p$ 、 $S = \int_0^L A dx$  および  $I_c = L_c - Q_0 = dS/dt$  を考慮すると次の追跡式を得られる。

$$\frac{dQ}{dt} = \frac{P}{P+2} Q_0^{\frac{P+1}{P}} \frac{dQ_0}{dx} + Q_0 = L_c - \frac{P+1}{P+2} P \int_0^L \frac{dI}{dx} \quad (6)$$

これは非線形であるから、実用計算では数値計算もしくは圖解法によることになる。ところで、末端排水路の水位が水田欠口を越え(2)式の関係が成り立つようになると、(6)式は次のようになる。

$$\frac{dQ}{dt} + Q_0 = I_c - \frac{P}{P+2} L_c \frac{dI_c}{dx} \quad (7)$$

したがって、初期条件  $(Q_0)_{t=0} = Q_0$ 、 $(I_c)_{t=0} = I_c$  とする(7)式の block dia. は Fig. 6 のようになり、その解は

$$Q_e(t) = \int_0^t W_{t_0}(T) I_c(t-T) dT + \left\{ \frac{1}{2} I_c^2 + Q_0^2 \right\} \exp(-t/T), \quad W_{t_0}(t) = \frac{3}{2} t \exp(-t/T) - \frac{1}{2} S(t), \quad S(t) = \int_0^t W_{t_0}(T) T dT = 1 - \frac{3}{2} \exp(-t/T) \quad (8)$$

(2) 支線排水路；支線排水路区間を追跡単位  $I_c$  とり、末端排水路から流出量を流入量として、前項と同様に考え方が追跡すればいいが、工場端からの流入量  $I_c$  の有無により若干異なる。

( $I_c = 0$ )；末端排水路における同様の貯留式、追跡式ならかにその解が得られる。とくに(2)式が成立する状態を考慮すると、a). 支線排水路通水能力 > 末端排水路通水能力の場合；末端排水路において通水能力を越えると、前述のように水田区画でのはんらん貯留が主めて大きく、こうした

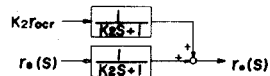


Fig. 4. 水田区画に対するblock dia.

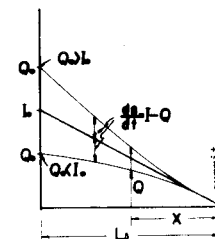
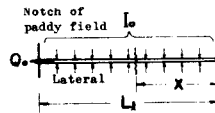


Fig. 5 末端排水路における追跡

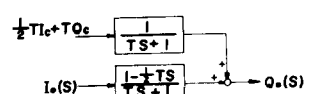


Fig. 6. 末端排水路に対するblock dia.

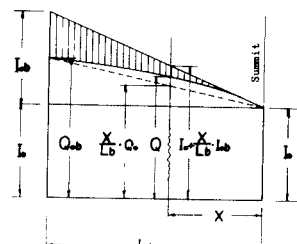
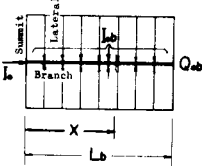


Fig. 7 支線排水路における追跡(上流域のみ)

効果のため支線の水位変動も緩慢となる。b) 支線排水路通水能力 < 末端排水路通水能力とした場合；この場合は支線排水路沿いの田面をはじめ末端排水路下流部の田面より時留はんらんが進行し、こうした効果によって支線排水路水位は次第に緩慢な変動となる。

[I. 10] : Fig. 7 で示す記号を用いて  $Q$  を次のよう表わすと、

$$Q = (I_0 + \frac{X}{L_b} I_{ob}) [1 - \frac{\lambda}{L_b} \left\{ 1 - \left( \frac{1}{L_0 + X/L_b} Q_{ob} \right)^{\eta_p} \right\}]^{\eta_p} \quad (9)$$

前同様の手順に従って追跡式を容易に求めることができるが、非線型となるので、差分の型に直して追跡することになる。しかし時留はんらんが発生する範囲では、前項と同様に考えによって次の線型追跡式が得られる。

$$2T' \frac{dQ_{ob}}{dt} + Q_{ob} = I_0 - 3T' \frac{dI_0}{dt} + I_{ob} - T' \frac{dI_{ob}}{dt} \quad (10) \quad \text{ここで, } d = A_0 P / B_C, \quad Q_c = (A_0 / k) \eta_p, \quad A_C = (1 - \eta_p) A_0, \quad L_b / k = T'$$

初期条件  $(Q_{ob})_{t=0} = Q_c, (I_{ob})_{t=0} = I_c, (I_{ob})_{t=0} = I'_c$  とする式の解は

$$\begin{aligned} Q_{ob}(t) &= \int_{I_0}^t W_{ob}(t') I_0(t-t') dt' + \int_{I_0}^t W_{ob}(t-t') dt' + \frac{1}{2} \{ 2d_t + 3I_0 + I'_c \} \exp(-t/2T'), \quad W_{ob}(t) = \frac{5}{4T} \exp(t/2T') - \frac{3}{2} S(t), \\ W_{ob}(t) &= \frac{3}{4T} \exp(-t/2T') - \frac{1}{2} S(t), \quad S_{ob}(t) = 1 - \frac{5}{2} \exp(-t/2T'), \quad S_{ob}(t) = 1 - \frac{3}{2} \exp(-t/2T'). \end{aligned} \quad (11)$$

式は、 $W_{ob}(t)$   $W_{ob}(t)$  2つの单振図による合成表示に従っているが、一般に支線排水路の時定数は10分前後で、かなり即応性の系であるから、各末端排水路の長さがほぼ等しいとみなしうる場合近似的に  $I_{ob} \cdot B_{Iob}$  ( $B$ :面積比) の関係が成立するから、追跡式との解は次式となる。

$$2T' \frac{dQ_{ob}}{dt} + Q_{ob} = (1 + \beta) I_0 - (3T' + T' B) \frac{dI_0}{dt}, \quad Q_{ob}(t) = \int_{I_0}^t W_{ob}(t') I_0(t-t') dt' + B(I_c, Q_c, t) \quad (12)$$

すなはち 1 ヶの单振図で表示されうることになる。ただし  $B(I_c, Q_c, t)$  は初期値の効果を表わしてしま

(3) 幹線排水路；一般に各支線排水路の長さは必ずしも同一ではないから、もはや均一な横流入を仮定しても取扱いが困難である。支線排水路が合流する区间を追跡単位( $L_m$ )にとり、工端流入量を  $I_0$ 、下流域流量を  $I_0$  とすると、時留式および追跡式はそれぞれ次式のように表示される。

$$S = \frac{KL_m}{2} (I_0^P + Q_0^P) \quad (14) \quad \frac{KL_m P_1}{2} \frac{dI_0}{dt} + Q_0 = I_0 - \frac{KL_m P_1}{2} \frac{dI_0}{dt}. \quad (15)$$

前項と同様、末端、支線、幹線排水路のいずれかが通水能力を越えると、はんらん時留効果が卓越して急速な水位変化が緩慢となるから、(15)式は次のようになり、

$$T_m \frac{dI_0}{dt} + Q_0 = I_0 - T_m \frac{dI_0}{dt} \quad (16), \quad \text{ここで } T_m = \alpha L_m / 2, \quad \alpha = A_0 B_C, \quad A_C = (1 - \eta_p) A_0, \quad Q_0 = (A_0 / k) \eta_p.$$

初期条件  $(Q_0)_{t=0} = Q_c, (I_0)_{t=0} = I_c$  に対する解は次のようになる。

$$Q_0(t) = \int_{I_0}^t W_m(t') I_0(t-t') dt' + (Q_c + I_c) \exp(-t/T_m), \quad W_m(t) = \frac{2}{T_m} \exp(-t/T_m) - S(t), \quad S_m(t) = 1 - 2 \exp(-t/T_m) \quad (17)$$

以上、排水路における雨水追跡の基礎理論が明示されたわけであるが、とくに次の 2 点を論及しておきたい。a) 雨水の通水能力以下で流下する場合、追跡式は非線型となり、実用上一般的には時留式と連続式を組み合せた圖解法ないしは数値計算法で追跡すればよいこと。b) (7), (10), (12), (16)式に示されるように、通水能力を越えてはんらん時留を伴う段階では追跡式が線型化し、それがどの流去量は常に同じよう現れ、初期値の効果を表わす項の初として表示される。これらは重要なパラメータである時定数の特性を調べると、水田区画のうち比較的小さく、10~20 分程度である。したがって初期値の効果も 1 時間程度で消滅する特性をもつてている。

4. 水田地帯の雨水流出形態：この雨水流出系は、ある容量までは非線型、これが越えると線型に遷移する特徴をもつてプロセスの結合系と考えることができ、次の 3 の型に大別される。

(1) 系全体が非線型系；各プロセスとも排水路の通水能力以下で流去する系で、一般にどのような流

域でも出水の初期から終期に現われるか、とくに一連の降雨に対して十分な排水能力をもつたる場合には、出水の全期間にわたり現われる。

(2) 線型、非線型浪在系；一部では通水能力を越えるほんらん貯留流れ、他は通水能力以下の流れとなり浪在系で、とくに排水路網の通水能力がバランスしてない地域によく現われる。

(3) 系全体が線型系；前節の考察より明らかのように、雨水流がいずれの排水路でも通水能力を越えようとする状態で広範囲にわたりほんらん貯留が卓越するとは現われる。このようにプロセス全体が線型系となつてはる場合には、水田区画、あるいは末端、支線、幹線排水路の伝達関数をそれぞれ、 $W_{ro}(s)$ ,  $W_b(s)$ ,  $W_m(s)$  とし、初期値の効果を一応考慮外とすると、この系の block dia. は Fig. 8 のようになり、系全体に対する伝達関数  $W(s)$  は、

$$W(s) = W_{ro}(s) \cdot W_b(s) \cdot W_m(s) \quad (18)$$

で表示されるから、結局この系の像方程式および流出量を与える式は次のとくに表示される。

$$Q_o(s) = W(s) Y_e(s) \quad (19)$$

$$Q_o(t) = \int_0^t W(s) Y_e(s) ds \quad (20)$$

(20)式は系全体に対する、一つの単位図が適用できることの意味する。

以上3つの型は、一般にその流域の排水組織の能力と出水の規模との関係に応じて一出水期間中においても随時相互に変換される性格をもつてゐる。

**5 単位図法の適応性：** 上述の考察から明らかのように、単位図法が適用できるのは全出水期間を通じて線型系が発現する場合に限られる。現実には通水能力が極めて小なり排水不良地域では出水初期からほんらん貯留が起り、線型系の出水特性を示しやすいため、こうした地域では単位図法の適用が理論的にも可能である。従来、低平地帯ではよく単位図法が適用されることはなく、実は線型系の発現する出水に対するのみ可能であつて、非線型系が主体となる出水に対する、あまりよい適合性はないといはざりである。

こうした考え方の妥当性を検討するため、典型的な低平水田地帯である滋賀県益田川流域について考察した。この流域は益田川右幹線水路とすす排水路網が構成されてゐるが、各排水路の断面は狭小かつ不整であつて蛇行も多く、また水路内各所に取水のための障害物があり、一層通水能力を小さくしている。そして現実には 30mm 前後の雨量でも流域の一帯はしらん状態がみられてゐる。そこで実測の観測資料をもとに、出水の規模別に単位図を求めた結果を Fig. 9 に示す。これより次のようことがわかる。  
 1) 出水期間を通じて非線型系が発現すると推論できる No. 5, No. 6, No. 4 の出水に対する単位図は出水の規模別に変化し、規模が大きくなるほどピークが遅くなる特徴がある。  
 2) 出水期間を通じ線型系が卓越すると推論できる No. 2, No. 3 の出水に対する単位図はほとんど一致する特性をもつ。

こうした単位図の性状はこれまで述べてきた理説的考察の妥当性を裏付けるものである。

本研究は、昭和41年度特定研究費による研究成果の一部であることを付記する。

$r_{ro}(s)$   $W_{ro}(s)$   $r_b(s)$   $W_b(s)$   $r_m(s)$   $W_m(s)$   $Q_o(s)$

Fig. 8 線型系の block dia.

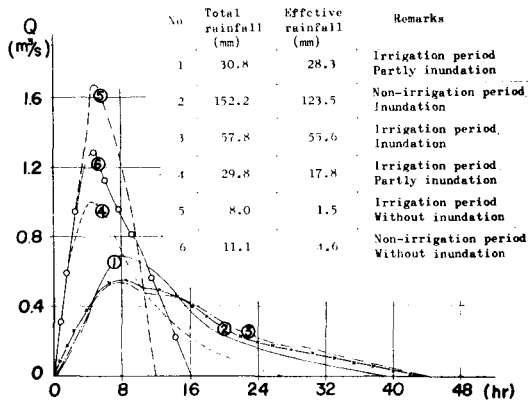


Fig. 9 益田川流域における単位図の特性